ОБ ОТРАЖАЮЩИХ СВОЙСТВАХ ГРАНИЦЫ ВНУТРЕННЕЕ – ВНЕШНЕЕ ЯДРО ЗЕМЛИ ПОД ЮЖНОЙ АМЕРИКОЙ И ЮГО-ВОСТОЧНОЙ АЗИЕЙ

Д.Н. Краснощеков, В.М. Овчинников

ИДГ РАН

В работе анализируются дифференциальные характеристики волн РКіКР и РсР, отражённые от границ ядра под Юго-Восточной Азией и Южной Америкой и зарегистрированные на эпицентральных расстояниях 3.2–35.2°. Мы наблюдаем статистически значимое систематическое смещение между измерениями в Восточном и Западном полушариях и оцениваем скачок плотности на границе внутреннего ядра под Юго-Восточной Азией величиной 0.3 г/см³, а под Южной Америкой 0.9 г/см³. Выявленные особенности могут являться как следствием мозаичного характера поверхности внутреннего ядра Земли, так и указывать на его дихотомную структуру. Однако, если систематическое смещение невязки дифференциального времени пробега обусловлено меньшей на 1–3 км толщиной жидкого ядра в Восточном полушарии, то линейное распределение скачка плотности хорошо согласуется с трансляционной моделью формирования и роста внутреннего ядра Земли. Она предполагает трансляцию вещества твёрдого ядра с более плотного холодного Западного полушария, где доминирует кристаллизация, на Восток, а не наоборот, как в модели, основанной на тепловом балансе ядро – мантия.

Введение

Кристаллическое ядро Земли сформировалось в результате затвердевания, и его структура в наибольшей степени определяется процессами в зоне перехода от жидкого внешнего к твёрдому внутреннему ядру Земли. На глубине порядка 5150 км температура падает ниже солидуса Fe-Ni раствора жидкого ядра и внутреннее ядро кристаллизуется [Jacobs, 1953]. Существует несколько альтернативных сценариев роста внутреннего ядра, которые подразумевают образование шлама, дендритных и недендритных структур, и т.д [Loper & Roberts, 1978; Fearn et al., 1981; Tian & Wen, 2017]. Предполагают, что тепловой поток на обеих границах жидкого ядра имеет неоднородное распределение по поверхности ядра, что оказывает существенное воздействие на режим кристаллизации и формирование текстуры внутреннего ядра, а также может приводить к образованию разномасштабных неоднородностей [Aubert et al., 2008; Gubbins et al., 2011]. В сейсмических наблюдениях такие неоднородности могут запечатлеваться в различных формах, включая композици-

онную и температурную мозаику поверхности внутреннего ядра [Krasnoshchekov et al., 2005] и его дихотомию [Aubert et al., 2008; Alboussièr et al., 2010; Monnereau et al., 2010]. Если бы давление и температура в зоне перехода не составляли 350ГПа и 6000 К, соответственно, изучение физических параметров кровли внутреннего ядра и его неоднородностей являлось бы чисто металлургической задачей. Хотя последние эксперименты с алмазными наковальнями позволяют приблизиться к необходимым температурам и давлениям [Тateno et al., 2010] для проведения экспериментов in situ, сейсмические данные всё ещё являются главным источником прямых измерений свойств внутреннего ядра Земли.

Большая часть сейсмологических ограничений на структуру и свойства границы внутреннего ядра Земли была получена в результате анализа отражённых объёмных волн (фаза PKiKP) и инверсии данных о собственных колебаниях Земли. Причём последние, в силу супердлинных периодов (порядка 104 с и выше), являются источником интегрированных оценок по всему объёму ядра, и, соответственно, не могут быть использованы для выявления и оценки параметров мелкомасштабных неоднородностей и текстуры внутреннего ядра. Например, стандартные модели Земли включают величину скачка плотности на границе внутреннего ядра в 0.6 г/см³, полученную по данным расщепления нормальных мод [Dziewonski & Anderson, 1981; Kennett et al., 1995].

Исследования границы внутреннего ядра с помощью короткопериодных волн РКіКР проводятся с привлечением референсной фазы, чей путь в максимальной степени совпадает с РКіКР в коре и мантии. Анализ дифференциальных времён пробега и амплитуд таких фаз от одного сейсмического источника позволяет сформулировать интерпретацию в терминах тонкой структуры и свойств перехода внутреннее – внешнее ядро, так как в этом случае можно пренебречь влиянием неоднородностей на трассе распространения за пределами ядра и особенностями очага. Волновые формы РКіКР рутинно наблюдаются в группе первых вступлений на эпицентральных расстояниях свыше ~ 110°, что соответствует закритическому отражению. Соответствующие исследования в качестве референсной чаще всего используют фазу РКІКР с нижней точкой рефракции во внутреннем ядре. Они предполагают региональные и локальные вариации сейсмической скорости и затухания в кровле твёрдого ядра [Godwin et al., 2018], которые, впрочем, часто оказываются не подтверждёнными другими исследователями, как, например, дихотомия скорости затвердевания. Первоначально эта особенность была установлена на основе анализа дифференциальных времён пробега РКіКР–РКІКР [Monnereau et al., 2010], однако затем она была поставлена под сомнение по результатам анализа расширенной базы данных, обеспечивающей более широкое покрытие [Ivan et al., 2018].

Докритически отражённые волновые формы РКіКР являются наилучшим инструментом картирования мелкомасштабных и региональных структурных особенностей границы внутреннего ядра, причем в качестве референсной используется фаза РсР, отраженная от границы ядро — мантия. Технически, эта пара фаз обеспечивает адекватное разрешение, а существенно сходные пути распространения в коре и мантии — независимость интерпретации от неоднородностей, локализованных за пределами ядра (особенно на малых эпицентральных расстояниях). Анализ именно этих волновых форм впервые дал возможность оценить скачок плотности на границе твёрдое — жидкое ядро [Bolt & Qamar, 1970] и позволил предположить мозаичный характер поверхности внутреннего ядра [Krasnoshchekov et al., 2005; deSilva et al., 2018]. Вместе с тем, результаты анализа докритически отражённых волновых форм также могут расходиться с результатами, полученными по данным

собственных колебаний или телесейсмических волновых форм РКіКР. Например, по данным докритически отражённых волн РКіКР и РсР оценки скачка плотности обычно выше по модулю (до 1.8 г/см³), а дихотомные свойства твёрдого ядра не прослеживаются в его верхней части [Waszek & Deuss, 2015].

Расхождения в полученных результатах частично можно объяснить недостатком экспериментальных данных: обнаружение почти вертикальных отражений РКіКР и РсР на сейсмограммах существенно затруднено вследствие малости их амплитуд на фоне интенсивных колебаний, сформированных на неоднородностях коры и мантии. В сейсмологической практике дифференциальные измерения РКіКР-РсР немногочисленны, не обеспечивают плотного покрытия отражающих поверхностей и проявляют значительные вариации по величине. В среднем измеренные амплитудные отношения PKiKP/PcP должны группироваться вокруг «истинного» амплитудного отношения, и для получения надёжных оценок по таким данным с учётом возможных значительных неопределённостей [Buchbinder et al., 1973; Tkalčić et al., 2009] необходимо существенно нарастить количество измерений. На практике эта задача трудно реализуема, так как ключевые факторы, гарантирующие успешные наблюдения отражённых волн РКіКР и РсР, не установлены, несмотря на целый ряд проведённых исследований [Krasnoshchekov et al., 2005; Tkalčić et al., 2010]. За весь период исследований было опубликовано не более нескольких сотен совместных наблюдений РКіКР и РсР преимущественно в диапазоне эпицентральных расстояний $15-60^\circ$ и лишь около дюжины на малых расстояниях до 10° . В настоящей работе мы анализируем более 1300 новых дифференциальных измерений, зондирующих две ограниченные области поверхности внутреннего ядра под Юго-восточной Азией и Южной Америкой в диапазоне расстояний 3.2-35.2°, в том числе, более 500 измерений на малых расстояниях менее 16.5°; и предлагаем их интерпретацию в терминах структурных неоднородностей ядра Земли.

Данные и методы

Анализируемая база данных состоит из вертикальных записей широкополосных и короткопериодных каналов цифровых групп и сетей сейсмологических наблюдений в Южной Америке и на Дальнем Востоке Евразии. Список событий и сейсмологических станций/групп регистрации приведен в Таблице, а карта с эпицентрами и станциями регистрации – на рис. 1. Используемые сейсмометры имеют плоскую АЧХ в диапазоне частот 1–7 Гц, поэтому для унификации данных и повышения соотношения сигнал/шум волновых форм РКіКР и РсР применялась частотная фильтрация с полосой пропускания 1.1–7 Гц. Выделенные волновые формы РКіКР и РсР формируют ярко выраженный и визуально прослеживающийся на монтаже трасс гиперболический годограф с низкой медленностью, предсказанной стандартными моделями Земли (рис. 2). Соотношение сигнал/шум выше 2.5 обнаруженных волновых форм позволило провести измерения дифференциальных времён пробега РКіКР-РсР и отношения их двойных пиковых амплитуд с помощью кросс-корреляции [Goldstein et al., 2003], а также провести выборочную проверку в ручном режиме. В результате было получено 1338 измерений для двух регионов в Восточном и Западном полушариях. Высокая представительность и плотность измерений на единицу зондируемой поверхности позволили не усреднять единичные измерения, как в предыдущих работах, а применить α -шейп k-го порядка – методику робастного восстановления формы зависимостей дифференциальных измерений от эпицентрального расстояния [Edelsbrunner et al., 1983; Krasnoshchekov & Polishchuk, 2014; Nikkilä et al., 2014].

Таблица. Параметры землетрясений и сети наблюдений

Дата	Время в очаге	Широта, град.	Долгота, град.	Глубина, км	mb	Δ град.	Код сети на- блюдений
Западное полушарие ¹							
12.07.2009	01:19:21.31	-15.0411	-70.5354	198.7	5.9	7.7–18.2	CX, TO, X6, XH, YS, ZL
24.05.2010	16:18:28.81	-8.1152	-71.6412	582.1	6.0	14.7–32.5	3A, XH, XP, XS
05.03.2012	07:46:09.23	-28.2579	-63.2916	551.9	6.0	5.4–34.2	ZD, ZG, ZV, XP
Восточное полушарие							
24.05.2013	14:56:31.60	52.1357	151.5688	632.0	6.8	3.2–35.2	SAGSR ² , KAGSR ² , J-array ³ , Hi-net ⁴

¹Цифровые идентификаторы временных сетей наблюдения в западном полушарии: ZL (10.7914/SN/ZL_2007), X6 (10.7914/SN/X6_2007), XH (10.7914/SN/XH_2008), TO (10.7909/C3RN35SP), YS (10.7914/SN/YS_2009), CX (10.14470/PK615318), XS (10.15778/RESIF.XS2010), XP (10.7914/SN/XP_2010), ZG (10.7914/SN/ZG_2010), ZD (10.7914/SN/ZD_2010), ZV (10.7914/SN/ZV_2012). Сети 3A (Maule Aftershock Deployment (UK)) цифровой идентификатор не присвоен.

Для тензора m_{pq} используем разложение на элементарные диполи сил [Bouchon, 1980; Bouchon, 1981]

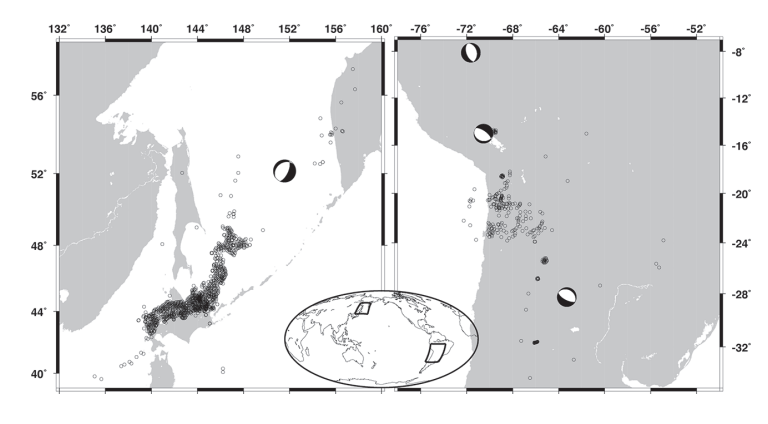


Рис. 1. Карта с эпицентрами проанализированных землетрясений (мячики) и проекциями точек отражения РКіКР на дневную поверхность (кружки). Левая панель — фрагмент данных для Восточного полушария, правая — для Западного. В центре — отображение панелей на глобальной проекции

Для построения амплитудных зависимостей PKiKP/PcP от эпицентрального расстояния использовался метод, предложенный в [Bolt & Qamar, 1970]. Он состоит в совместном решении трёх систем уравнений, соответствующих условиям непрерывности нормального смещения и отсутствию тангенциальных напряжений на границах жидкого ядра при распространении упругих волн PKiKP и PcP. При этом необходимо вычислить коэффициенты отражения и прохождения на соответствующих границах, фактор геометрического расхождения обеих фаз и учесть добротность внешнего ядра, которая может быть принятой равной 10000 [Cormier & Richards, 1976]. Если зафиксировать скорость поперечных волн в кровле внутреннего ядра, то

²Сеть структурного подразделения ФИЦ ЕГС РАН

³http://jarray.eri.u-tokyo.ac.jp/

⁴[Okada et al., 2004; Obara et al., 2005]

можно получить совместное решение систем для искомого амплитудного отношения в широком диапазоне скачков плотности на границе внутреннего ядра [Tkalčić et al., 2009]. Перед интерпретацией и сопоставлением экспериментальных и теоретических зависимостей были также построены синтетические сейсмограммы PKiKP и PcP по методу DSM [Kawai et al.,2006] (рис. 2). Это позволило оценить и отбросить измерения, которые могли оказаться под влиянием интерференции анализируемых отражений с другими сейсмическими фазами, а также особенностей в очаге и конфигурации трассы распространения.

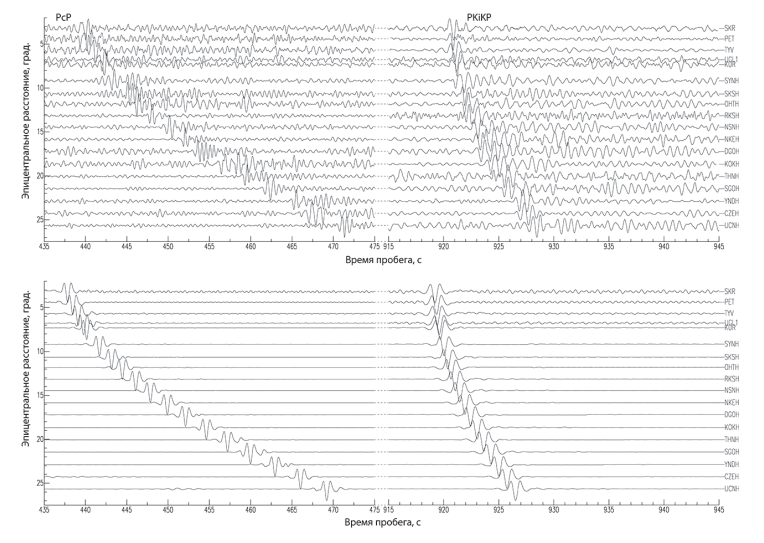


Рис. 2. Монтаж трасс 18 отфильтрованных вертикальных составляющих исходных записей (вверху) и их моделей, рассчитанных по методу DSM в модели ak135 (внизу). Названия станций регистрации приведены справа. Левая панель — фрагменты, соответствующие вступлениям РсР, правая — РКіКР

Результаты

1. Дифференциальные времена пробега. Статистический анализ экспериментальных данных показывает, что измерения в Западном полушарии проявляют систематическое смещение на 0.72 с относительно Восточного. Среднее невязки дифференциального времени пробега PKiKP–PcP с моделью ak135 [Kennett et al., 1995] и PREM [Dziewonski et al., 1981] по 1016 измерениям в Японии составило, соответственно, -1.79 и -0.41 с со стандартным отклонением 0.51; аналогичные оценки в Западном полушарии дают 1.07 ± 0.45 и 0.31 ± 0.45 с. Согласно критерию Стьюдента (t-тест) вероятность нулевой гипотезы равенства средних по восточной и западной выборкам с учетом дисперсии каждой близка к нулю (р < 2e-69 при уровне значимости 0.05), и, таким образом, подразделение базы измерений на восточную и западную выборки статистически значимо.

Согласно оценке из [Shen et al., 2016], систематическое смещение невязок может быть проинтерпретировано в терминах вариации толщины жидкого ядра. Тогда, согласно этой оценке, мощность жидкого ядра под Америкой на 3 км больше, чем под Азией. Эта величина может служить оценкой сверху без учёта влияния эллиптичности Земли и неоднородностей в подошве мантии (зоны D''). В отличие от поправок на эллиптичность, составляющих не более 7–10% от обнаруженного систематического смещения в секундах, мантийные поправки могут оказаться весьма существенными и, кроме того, значимо зависеть от выбора трёхмерной томографической модели. В настоящей работе мы приводим оценку по модели LLNL-Earth3D

[Simmons et al., 2012], которая позволяет учесть эффекты эллиптичности, рельеф границ раздела и объёмные неоднородности коры и мантии. На качественном уровне, использование LLNL-Earth3D даёт физический результат, не противоречащий базовым представлениям о распространении волн, согласно которым неоднородности коры и мантии оказывают существенно сходное воздействие на РКіКР и РсР. распространяющиеся практически вертикально (например, на эпицентральном расстоянии 3.2°, где размер зоны Френеля больше, чем расстояние между лучами PcP и РКіКР). При этом на больших расстояниях, где точки отражения и пропускания РКіКР и РсР на границе ядро – мантия становятся дальше друг от друга, воздействия на эти фазы со стороны неоднородностей в D'' может различаться. Именно такую картину можно наблюдать на рис. 3. На эпицентральных расстояниях свыше 16.5°, измеренные невязки до мельчайших деталей повторяют форму зависимости, предсказанную моделью LLNL-Earth3D, и, следовательно, несут информацию о неоднородностях, локализованных вне ядра. До 16.5° доверительные интервалы средних частично перекрываются с теоретическими оценками по LLNL-Earth3D, однако восстановленная гладкая зависимость невязок от расстояния с её низкой погрешностью не более 5% [Nikkilä et al., 2014] статистически значимо отличается, что указывает на независимость измерений на малых расстояниях от неоднородностей в коре и мантии.

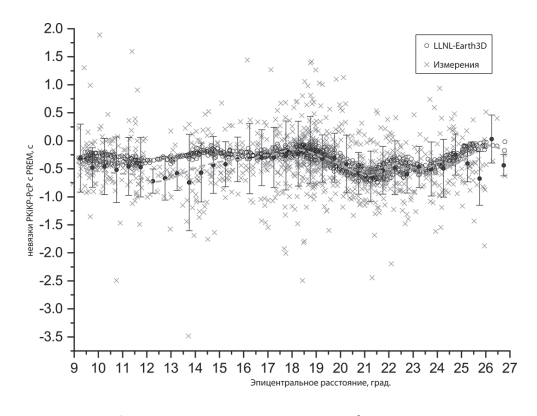
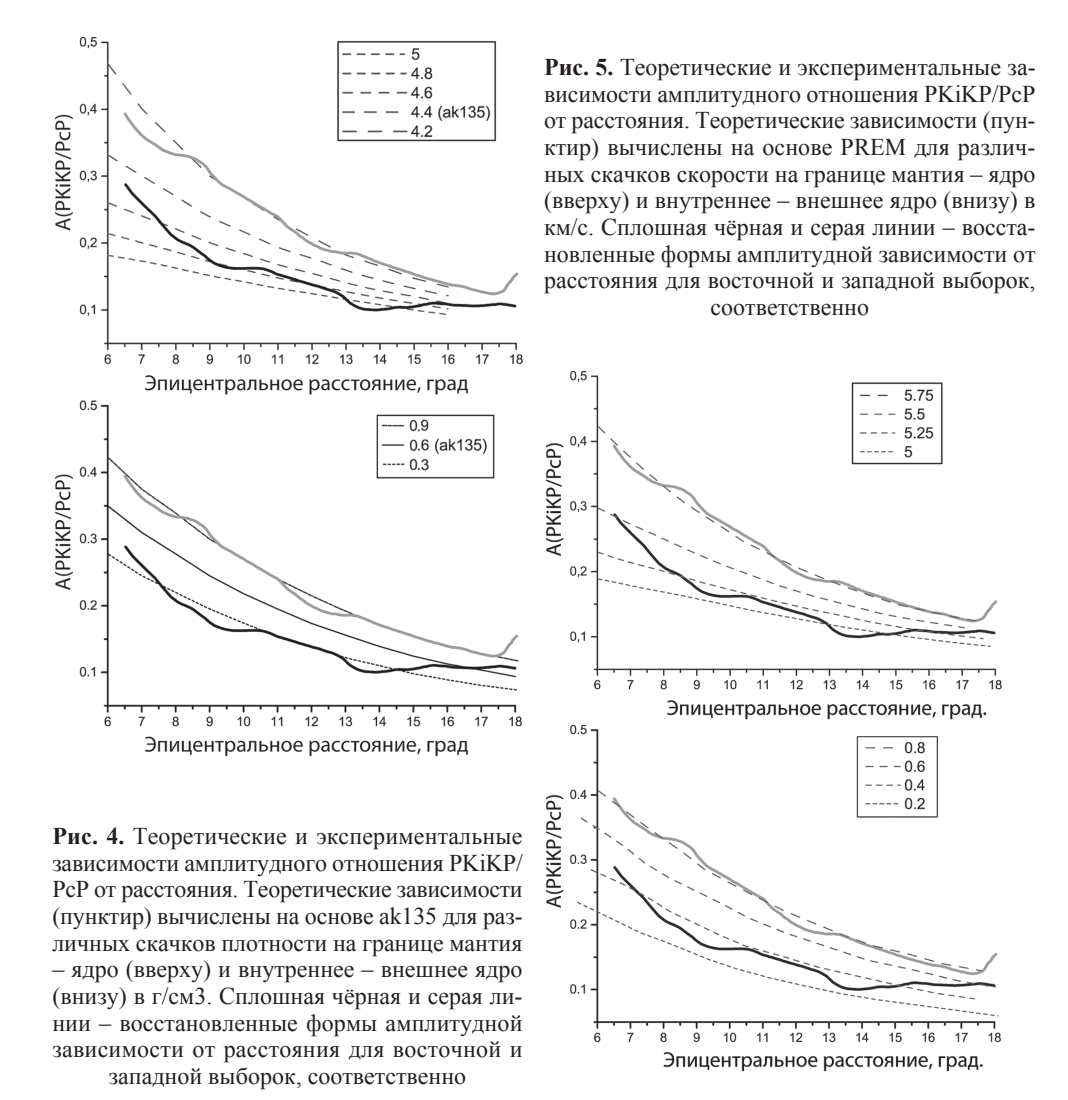


Рис. 3. Невязки дифференциальных времён пробега, измеренные на 1016 станциях в Японии. Чёрные точки со стандартным отклонением – результат усреднения в окне 0.5°. Серый пунктир – восстановленная форма зависимости от расстояния. В правом верхнем углу – легенда для измерений и теоретических невязок, вычисленных для LLNL-Earth3D

Чтобы снизить влияние факторов, не связанных с ядром, были проанализированы измерения на малых расстояниях (до 16.5°). Средние невязок по 330 измерениям на Востоке и 181 измерению на Западе составили, соответственно -0.45 ± 0.55 с и 0.27 ± 0.44 с, а теоретические -0.27 ± 0.07 с и 0.12 ± 0.10 с. Как видно, до 50% систематического смещения измеренных невязок можно объяснить влиянием неоднородностей коры и мантии, однако оставшаяся часть представляет статистически значимое расхождение, которое можно проинтерпретировать как различие между толщиной жидкого ядра в восточном и западном полушариях, эквивалентное 1-3 км.

2. Амплитудное отношение. Для интерпретации измеренных амплитудных отношений РКіКР/РсР были вычислены модельные кривые для ak135 и PREM (рис. 4 и 5). Первая группа теоретических кривых вычислена для фиксированного значения скачка плотности на границе ядро — мантия 4.4 г/см^3 (как в ak135) и различных скачков плотности на границе внутреннего ядра — от 0.3 до 0.9 г/см^3 . Во второй группе зафиксирован скачок плотности на границе внутреннего ядра (0.6 г/см^3 как в ak135 и PREM) и варьируется скачок плотности на границе ядро — мантия. Аналогичные расчёты и построения проведены для скачка скорости продольных

волн на обеих границах. На рисунках также приведены восстановленные формы зависимости амплитудного отношения PKiKP/PcP от эпицентрального расстояния по восточной и западной выборкам. Как и для дифференциальных времён пробега, они статистически значимо различаются — вероятность нулевой гипотезы равенства средних по критерию Стьюдента не превышает 10-5. На эпицентральных расстояниях до 16° восточная и западная кривые обнаруживают систематическое смещение (рисунки 4 и 5), эквивалентное скачку плотности 0.6 г/см³ на одной из двух границ жидкого ядра.



Обсуждение результатов

Восстановленные амплитудные зависимости РКіКР/РсР от расстояния в Восточном и Западном полушариях имеют сходную форму и хорошо согласуются с

теоретическими кривыми, рассчитанными для скачков плотности на границе внутреннего ядра 0.3 и 0.9 г/см³, соответственно (рис. 4, нижняя панель). Теоретические кривые, рассчитанные для нескольких скачков плотности на границе ядро — мантия (рис. 4, верхняя панель), хуже согласуются с экспериментальными данными. Такая интерпретация предполагала бы быстрые латеральные вариации скачка плотности в пределах зондируемой области под Японией в подошве мантии в пределах 10% (от 5 до 4.5 г/см³) и практически постоянный скачок плотности под Южной Америкой (4.2–4.3 г/см³). Однако согласно актуальным геодинамическим моделям предложенный сценарий вряд ли вероятен, так как обе зондируемые области существенно сходны по своим свойствам, определяемым периферией «Тихоокеанского суперплюма» — низкоскоростной зоны в подошве мантии [Li et al., 2017]. Например, трёхмерная модель для поперечных волн предусматривает одинаковые скорости в обеих областях, ограничивая максимальные вариации величиной 1% [Ritsema et al., 2011]. Сильные вариации и дихотомное распределение свойств и параметров жидкого ядра также маловероятны [Stevenson, 1987; Brodholt & Badro, 2017].

Аналогичные доводы справедливы при интерпретации результатов в терминах скачка скорости. Быстрые вариации скачка скорости под Юго-Восточной Азией между 4.8 и 5.5 км/с на границе ядро — мантия и практически постоянный скачок скорости под Южной Америкой в 5.75 км/с (рис. 5) противоречат современным глобальным скоростным моделям, включая LLNL-Earth3D, которая, как показано выше, обеспечивает хорошее согласование теоретических и экспериментальных невязок дифференциальных времён пробега. [Tkalčić et al., 2010] показали, что большой разброс амплитудных измерений можно объяснить введением более интенсивных вариаций скорости (около 10%) и затухания в нижних 150 км мантии. Однако такая модель позволяет объяснить мозаичную структуру, но не систематическое смещение, наблюдаемое в анализируемых данных.

Ещё одним источником вариабельности амплитудного отношения РКіКР/РсР может служить слой F в подошве жидкого ядра [Antonangeli et al., 2010; Waszek & Deuss, 2015], который может иметь плотность, отличающуюся от вышележащей жидкости. Однако необходимо учитывать, что предполагаемые вариации плотности в этом слое должны коррелировать с измеренными временами пробега [Badro et al., 2007; Antonangeli et al., 2010]. В случае быстрого роста (затвердевания) лёгкие элементы снижают плотность слоя F, что эквивалентно увеличению скорости продольных волн и уменьшению невязок дифференциальных времён пробега РКіКР-РсР. Если доминирует плавление, подошва внешнего ядра обогащается жидкостью, снижая скорость распространения продольных волн, и увеличивая невязки дифференциального времени пробега РКіКР-РсР. Измеренные дифференциальные времена пробега и амплитуды не соответствуют описанной модели. Мы наблюдаем повышенные скорости или более тонкое внешнее ядро под Японией, где, согласно измеренным амплитудным отношениям, доминирует плавление (низкий скачок плотности 0.3 г/см³). Соответственно, в Западном полушарии с его высоким скачком плотности (0.9 г/cm^3) мы наблюдаем пониженные скорости продольных волн (или большую мощность жидкого ядра).

Необходимо отметить, что низкие значения скачка плотности были также получены в других работах по восточно-азиатским данным, например, [Корег and Pyle, 2004; Tkalčić et al., 2009; Краснощеков, Овчинников, 2017], что может указывать на более общий характер этой особенности. Если плотностное распределение во внутреннем ядре имеет линейную зависимость с Запада на Восток, то с учётом вариации толщины жидкого ядра, экспериментальные данные хорошо согласуются с

трансляционной моделью [Alboussièr et al., 2010; Monnereau et al., 2010]. Она предполагает, что совместное действие кристаллизации в более плотном холодном Западном полушарии и плавление в Восточном приводит к смещению центра масс к Западу и, соответственно, компенсационной трансляции вещества внутреннего ядра в противоположном направлении.

Выводы

Анализ динамических характеристик волн РКіКР и РсР, измеренных в Восточном и Западном полушариях, выявил различия в отражающих свойствах границы внутреннего ядра Земли под Юго-Восточной Азией и Южной Америкой. Скачок плотности на границе внутреннего ядра в отсканированной области Восточного полушария составляет 0.3 и 0.9 г/см³ — Западного. Выявленные особенности могут являться как следствием мозаичного характера поверхности внутреннего ядра Земли, так и указывать на его дихотомную структуру. Однако, если систематическое смещение невязки дифференциального времени пробега связано не с топографией отражающей границы, а с вариацией толщины жидкого ядра, то представленное линейное распределение скачка плотности хорошо согласуется с трансляционной моделью формирования и роста внутреннего ядра Земли. Она предполагает трансляцию вещества твёрдого ядра с более плотного холодного Западного полушария, где доминирует кристаллизация, на Восток, а не наоборот, как в модели, основанной на тепловом балансе ядро — мантия [Aubert et al., 2008].

Исследование выполнено при финансовой поддержке РФФИ (проект № 18-05-00619) и в рамках темы гос. задания ИДГ РАН (рег. № АААА-А17-117112350012-4).

Литература

Краснощеков, Д.Н., Овчинников, В.М. Об использовании метода максимума правдоподобия для оценки скачка плотности на границе между внешним и внутренним ядром // Динамические процессы в геосферах: сб. научных трудов ИДГ РАН, вып. 9. М.: ГЕОС. 2017. С. 10–15.

Alboussière, T., R. Deguen, and M. Melzani (2010), Melting-induced stratification above the Earth's inner core due to convective translation. Nature, 466, 744–747.

Antonangeli, D., J. Siebert, J. Badro, D. Farber, G. Fiquet, G. Morard, and F. Ryerson (2010), Composition of the Earth's inner core from high-pressure sound velocity measurements in Fe-Ni-Si alloys. Earth Planet. Sci. Lett., 295, 292–296.

Aubert, J., H. Amit, G. Hulot, P. Olson. (2008), Thermochemical flows couple the Earth's inner core growth to mantle heterogeneity. Nature, 454, 758-761.

Badro, J., G. Fiquet, F. Guyot, E. Gregoryanz, F. Occelli, D. Antonangeli, and M. d'Astuto (2007), Effect of light elements on the sound velocities in solid iron: Implications for the composition of Earth's core. Earth Planet. Sci. Lett., 254, 233–238.

Bolt, B., and A. Qamar (1970), Upper bound to the density jump at the boundary of the Earth's inner core. Nature, 228, 148–150.

Brodholt, J., Badro, J. (2017). Composition of the low seismic velocity E layer at the top of Earth's core. Geoph. Res. Lett., 44 (16), 8303–8310. Doi:10.1002/2017GL074261.

Buchbinder, G.G.R., Wright, C., Poupinet, G. (1973), Observations of PKiKP at distances less than 110°. Bull. Seismol. Soc. Am.,63,1699–1707.

Cormier, V.F. and Richards, P.G., (1976), Comments on «The Damping of Core Waves» by Anthony Qamar and Alfredo Eisenberg. J. Geophys. Res., 81, 3066–3068.

de Silva, S., Cormier, V.F., Zheng, Y. (2017), Inner Core Boundary Topography Explored with Reflected and Diffracted P waves, Phys. Earth planet. Inter., doi: http://dx.doi.org/10.1016/j.pepi.2017.04.008.

Dziewonski, A.M., D.L. Anderson. (1981), Preliminary reference Earth model. Phys. Earth Planet.Inter., 25, 297–356.

Edelsbrunner, H., Kirkpatrick, D.G. and Seidel, R. (1983), On the shape of a set of points in the plane. IEEE Trans. Inform. Theor., 29, 551–559.

Fearn, D., Loper, D., Roberts, P. (1981), Structure of the earth's inner core. Nature, 292 (5820), 232.

Goldstein, P., D. Dodge, M. Firpo, and L. Minner (2003), SAC2000: Signal processing and analysis tools for seismologists and engineers, in The IASPEI International Handbook of Earthquake and Engineering Seismology, edited by W.H.K. Lee et al., pp. 1613–1614, Academic Press, London.

Godwin, H., Waszek, L., Deuss, A. (2018), Measuring the seismic velocity in the top 15km of Earth's inner core. Physics of the Earth and Planetary Interiors, 274, 158–169, doi:10.1016/j.pepi.2017.11.010.

Gubbins, D., B. Sreenivasan, J. Mound, and S. Rost (2011), Melting of the Earth's inner core. Nature, 473, 361–363.

Ivan, M., Wang, R., Hofstetter, R. (2018) Non quasi-Hemispherical Seismological Pattern of the Earth's Uppermost Inner Core. Scientific Reports, 8, 2270. doi:10.1038/s41598-018-20657-x Jacobs, J.A. (1953), The Earth's inner core. Nature, 172, 297–298.

Kawai, K., Takeuchi, N., Geller, R.J., (2006), Complete synthetic seismograms up to 2 Hz for transversely isotropic spherically symmetric media. Geophys. J. Int., 164, 411–424.

Kennett, B., E. Engdahl, and R. Buland (1995), Constraints on seismic velocities in the Earth from travel times. Geophys. J. Int., 122, 108–124.

Koper, D.K., Pyle, M.L. (2004), Observations of PKiKP/PcP amplitude ratios and implications for Earth structure at the boundaries of the liquid core. J. Geophys. Res., 109, B03301, doi: 10.1029/2003JB002750.

Krasnoshchekov, D.N., Kaazik, P.B., Ovtchinnikov, V.M. (2005), Seismological evidence for mosaic structure of the surface of the Earth's inner core. Nature, 435, 483–487.

Krasnoshchekov, D., Polishchuk, V. (2014), Order-k a-hulls and a-shapes. Inform. Process. Lett., 114, 76–83.

Li, M., McNamara, A.K., Garnero, E.J., Yu, S. (2017), Compositionally-distinct ultra-low velocity zones on Earth's core-mantle boundary. Nature Communications, 8, 177, doi: 10. 103 8/s41467-017-00219-x.

Loper D.E., Roberts P.H. (1978), On the motion of an iron-alloy core containing a slurry. Geophys. Astrophys. Fluid Dyn., 9(3-4), 289–321.

Monnereau, M., M. Calvet, L. Margerin, and A. Souriau (2010), Lopsided growth of Earth's inner core, Science, 328, 1014–1017.

Nikkilä, M., Polishchuk, V., and D. Krasnoshchekov (2014), Robust estimation of seismic coda shape. Geophysical Journal International, 197(№ 1), 557–565.

Obara, K., K.Kasahara, S.Hori & Y.Okada. (2005), A densely distributed high-sensitivity seismograph network in Japan: Hi-net by National Research Institute for Earth Science and Disaster Prevention. Review of Scientific Instruments 76, 021301.

Okada, Y., K.Kasahara, S.Hori, K.Obara, S.Sekiguchi, H.Fujiwara, and A.Yamamoto. (2004), Recent progress of seismic observation networks in Japan -Hi-net, F-net, K-NET and KiK-net. Earth, Planets and Space, 56, xv-xxviii.

Ritsema, J., van Heijst H.J., Deuss, A., Woodhouse J.H. (2011), S40RTS: a degree-40 shear-velocity model for the mantle from new Rayleigh wave dispersion, teleseismic traveltimes, and normal-mode splitting function measurements. Geophys. J. Int., 184, 1223–1236.

Shen, Z., Ai, Y., He, Y., Jiang, M. (2016), Using pre-critical PKiKP–PcP phases to constrain the regional structures of the inner core boundary beneath East Asia. Phys. Earth Planet.Inter., 252, 37–48.

Simmons, N.A, S.C. Myers, G. Johannesson, E. Matzel. (2012), LLNL-G3Dv3: Global P wave tomography model for improved regional and teleseismic travel time prediction. J Geophys. Res. 117, B10302, doi: 10. 1029/2012JB009525.

Stevenson, *D.J.* (1987), Limits of lateral density and velocity variation in the Earth's outer core. Geoph. J. R. Astron. Soc., 88, 311–319.

Tateno S, Hirose K, Ohishi Y, Tatsumi Y. (2010), The structure of iron in Earth's inner core. Science, 330, 359–361.

Tian, D. and Wen, L. (2017), Seismological evidence for a localized mushy zone at the Earth inner core boundary. Nat. Commun., 165, doi:10.1038/s41467-017-00229-9.

Tkalčić, *H.*, *B. Kennett*, *and V. Cormier*. (2009), On the inner-outer core density contrast from PKiKP/PcP amplitude ratios and uncertainties caused by seismic noise. Geophys. J. Int., 179, 425–443.

Tkalčić, *H.*, *V. Cormier*, *B. Kennett*, *and K. He*. (2010), Steep reflections from the Earth's core reveal small-scale heterogeneity in the upper mantle. Phys. Earth Planet. Inter., 178, 80–91.

Waszek, L., Deuss, A. (2015), Anomalously strong observations of PKiKP/PcP amplitude ratios on a global scale. J. Geophys. Res. Solid Earth, 120, doi:10.1002/2015JB012038.

УДК 550.341: 550.311

ПОГЛОЩАЮЩИЕ СВОЙСТВА И ДИФФЕРЕНЦИАЛЬНЫЕ ВРЕМЕНА ПРОБЕГА ВО ВНУТРЕННЕМ ЯДРЕ ЗЕМЛИ ИЗ ИНВЕРСИИ ВОЛНОВЫХ ФОРМ

П.Б. Каазик, Д.Н. Краснощеков, В.М. Овчинников

ИДГ РАН

Приведены результаты оценки фактора Q, характеризующего поглощающие свойства среды, методом инверсии волновых форм. Для области верхней части внутреннего ядра до глубины 300 км величина $Q=324\pm17$. Сравнение с величинами Q, определёнными методом спектрального отношения, показывает, что результаты статистически неразличимы. Метод инверсии позволяет также одновременно определять дифференциальные времена пробега волн PKPdf и PKPbc, которые значимо различаются с их оценками корреляционным методом, а также по временному положению максимальных амплитуд волн PKPdf и PKPbc.